

FE DE ERRATAS

En el artículo **“CONTROL DE BACTERIAS PATÓGENAS Y HONGOS DE POSTCOSECHA CON EXTRACTOS DEL PIGMENTO DE *Gibberella zeae* (*Fusarium graminearum*)”**, páginas 698 y 699, Volumen 47, Número 7 de Agrociencia, la Figura 1, la Figura 2 y la Figura 3 deben tener el formato presentado en las páginas siguientes.

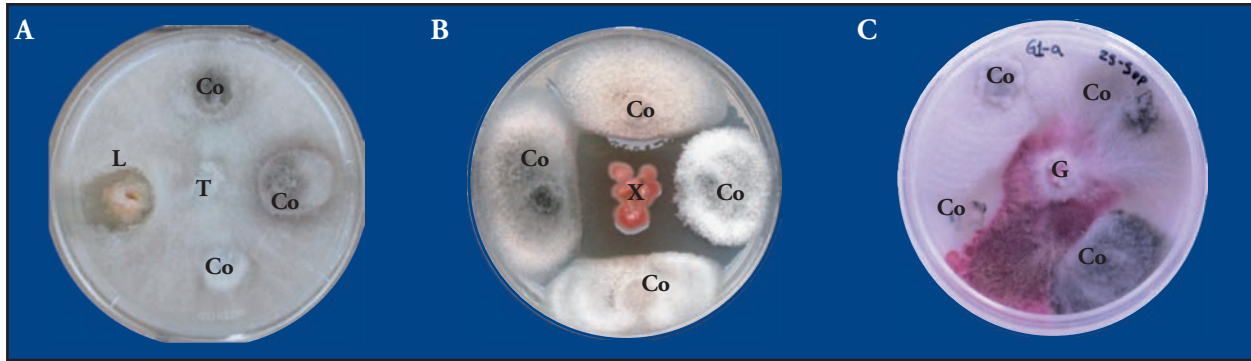


Figura 1. Hongos y levaduras inhibidores del crecimiento y productores de pigmentos u otros metabolitos. En el punto de inoculación central *Trichoderma* (T), hongo basidiomiceto desconocido (X) y *Gibberella zeae* (G), y en los extremos *Colletotrichum* spp. (Co) y *Sporobolomyces* (L).

Figure 1. Growth inhibiting fungi and yeasts that produce pigments or other metabolites. At central point of inoculation *Trichoderma* (T), unknown basidiomycete fungus (X) and *Gibberella zeae* (G), and on the outer edges *Colletotrichum* spp. (Co) and *Sporobolomyces* (L).

Así, se seleccionó un hongo saprófito (*Gibberella* sp.) recolectado de material vegetal muerto en descomposición, el cual no produjo esporas en condiciones ambientales (23 ± 2 °C), pero sí un pigmento rojo-púrpura o amarillo-rosáceo de mayor intensidad en medio sólido que *P. herbarum* (Figura 2). Para favorecer la producción de esporas, las colonias se pusieron bajo luz negra y UV, como lo indican Snyder y Hansen (1947), Zachariah *et al.* (1956) y von Arx (1981). La identificación reveló que era *Fusarium* sp. La producción del pigmento comenzó a los 5 d y se encontró principalmente en el micelio inmerso en el medio de cultivo (Figura 3). La producción de pigmentos rojo púrpura o carmín es típica en las especies de *Fusarium* de la sección Discolor, como *F. reticulatum* Mont. [W&R, G], *F. sambucinum* Fuckel [W&R, G, B, J], *F. culmorum* (W. G. Smith) Sacc. [W&R, G, G, B, J], *F. crookwellense* Burgess, Nelson & Toussoun, además de *F. graminearum* (Nelson *et al.*, 1983). En otras especies la coloración puede ser diferente como el *F. roseum* (Lk.) Emend, Snyder & Hansen, con colonias amarillas a rosadas (Watanabe, 2002).

Identificación del hongo productor de pigmentos

La caracterización molecular del hongo por secuenciación (Cuadro 1) de la región intergénica ITS1 del ADN ribosomal y su posterior alineamiento con las bases de datos del Banco de Genes del NCBI,

Snyder and Hansen (1947, Zachariah *et al.* (1956) and von Arx (1981). Identification revealed that it was *Fusarium* sp. Production of pigment began at 5 d and was found mainly in the mycelia immersed in the culture medium (Figure 3). Production of red-purple or carmine pigment is typical of Discolor section *Fusarium* species, such as *F. reticulatum* Mont.

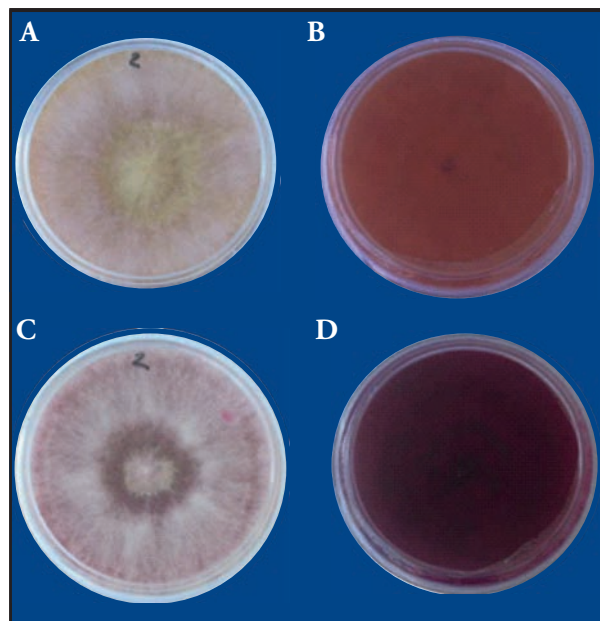


Figura 2. Colonias de *Gibberella zeae* en extracto de malta (A, B) y papa dextrosa agar (C, D), 10 d.

Figure 2. *Gibberella zeae* colonies in malt extract (A, B) and potato dextrose agar (C, D), 10 d.

reveló una similitud genética con *G. zeae* (teleomorfo), cuyo anamorfo es *F. graminearum*. Las características morfológicas de las colonias y esporas fueron similares con las descripciones de *F. graminearum* reportadas por Booth (1971) y Nelson *et al.* (1983). Las colonias en PDA fueron blancas de micelio raso (plano, corto) y denso al principio y de micelio largo (aéreo) algodonoso a mayor edad de la colonia, con márgenes blancos a rojo púrpura. Las macroconidias ($27.4 \times 2.4 \mu\text{m}$) fueron menores a las reportadas por Booth (1971).

Caracterización cultural del hongo y producción de pigmentos

En cultivos sólidos, las colonias variaron en función de la composición del medio (Cuadro 2). En algunos casos el micelio fue raso los primeros días de crecimiento, y aéreo al final; en otros, el micelio

[W&R, G], *F. sambucinum* Fuckel [W&R, G, B, J], *F. culmorum* (W. G. Smith) Sacc. [W&R, G, G, B, J], *F. crookwellense* Burgess, Nelson & Toussoun, besides *F. graminearum* (Nelson *et al.*, 1983). In other species coloration may be different, such as in *F. roseum* (Lk.) Emend, Snyder & Hansen, with yellow to pink colonies (Watanabe, 2002).

Identification of pigment-producing fungi

Molecular characterization of the fungus by sequencing (Table 1) of the ITS1 intergene region of ribosomal DNA and later alignment with the databases of the NCBI Gene Bank revealed genetic similarity to *G. zeae* (telemorph), whose anamorph is *F. graminearum*. The morphological characteristics of the colonies and spores were similar to the descriptions of *F. graminearum* reported by Booth (1971) and Nelson *et al.* (1983). The colonies in

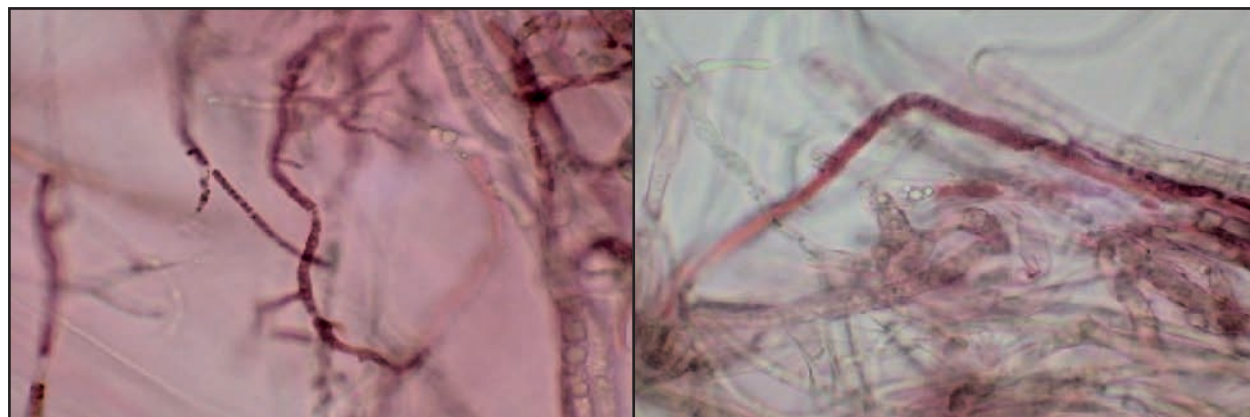


Figura 3. Micelio pigmentado de *Gibberella zeae*, 10 d (40x).
Figure 3. Pigmented *Gibberella zeae* mycelia, 10 d (40x).

Cuadro 1. Secuencia de pares de bases de la región ITS1 del ADNr de *Gibberella zeae*.

Table 1. Sequence of pairs of bases of the ITS1 region of *Gibberella zeae* rDNA.

```

CTTNAI NCTTTTNTTCANCTGNTCCGAGGTCACATTCAGAAGTTGGGGTTTANCGCGTGGCCGCGACGATTACCAGTAACGATG
TGTA AATTACTACGCTATGGAAGCTCGACGTGACCGCCAATGTATTTGGGGAGTGCAGCAGGACTGCAGCTCCCAACACCAAGCT
GGGCTTGAGGGTTGAAATGACGCTCGAACAGGCATGCCCGCCAGAATACTGGCGGGCGCAATGTGCGTTCAAAGATTCGATGATT
CACTGAATTCGCAATTCACATTACTTATCGCATTTTGTCTGCGTTCTTCATCGATGCCAGAACCAAGAGATCCGTTGTTGAAAGTTT
TGATTTATTTGTTTTTATACTCAGAAGTTCCTACTAAAAACAGAGTTTAGGGTTCTCTGCGGCGGGCCGTCCTTTTACGGGNCGCG
GGCTGATCCGCGGAGGCAACATANGGTATGTTTACAGGGGTTTGGGAGTTGTAAACT
CTTNNTNACTTTTCTTCANCTGATCCGAGGTCAACATTCAGANGTTGGGGTTTANCGCGTGGCCGCGACGATTACCAGTAACGAT
GTGTA AATTACTACGCTATGGAAGCTCGACGTGACCGCCAATGTATTTGGGGAGTGCAGCAGGACTGCAGCTCCCAACACCAAGC
TGGGCTTGAGGGTTGAAATGACGCTCGAACAGGCATGCCCGCCAGAATACTGGCGGGCGCAATGTGCGTTCAAAGATTCGATGAT
TCACTGAATTCGCAATTCACATTACTTATCGCATTTTGTCTGCGTTCTTCATCGATGCCAGAACCAAGAGATCCGTTGTTGAAAGTT
TTGATTTATTTGTTTTTATACTCAGAAGTTCCTACTAAAAACAGAGTTTAGGGTTCTCTGCGGCGGGCCGTCCTTTTACNGGGCGCG
GGCTGATCCGCGGAGGCAACATANGGTATGTTTACAGGNGTTTNGAGTTGTA AACTCGGTAATGATCCCTCCGCTG
    
```